

III-33 開水路 二次流について

大阪大学工学部 正員 室田 明
大阪大学大学院 正員 ○和田 明

§1. 概要：本文は、漸変断面水路における二次流の発生及び主流との関連について説明したものである。開水路において、流水の加速度 $\frac{du}{dt}$ が存在する場合は、例えば洪水時の増水時 ($\frac{du}{dt} > 0$) には水面が凸になり、減水時には逆に凹状になり、之に対応する二次流が発生する筈である。筆者等は、この様な時間的加速度項のみならず、空間的加速度項によつても、横断方向水面勾配が存在し、従つてそれに対応する二次流が発生するのではないかとの予測の下に、以下若干の考察を行つたものである。すなわち、

$$\frac{du}{dt} \cong \frac{\partial u}{\partial t} + u \frac{\partial u}{\partial x}$$

であるから、定常状態 ($\frac{du}{dt} = 0$) であつて、堰上げ背水 ($\frac{\partial u}{\partial x} < 0$)、又は、低下背水 ($\frac{\partial u}{\partial x} > 0$) の場合も、横断方向水面勾配の有無をまず確認する必要がある。そこで筆者等は関西電力宇治発電所取水路で、横断方向に精密な水位測定を行つた。此等の結果が、図-1, 2, 3 に示されている。

断面①-① 及び ②-② は、堰上げ

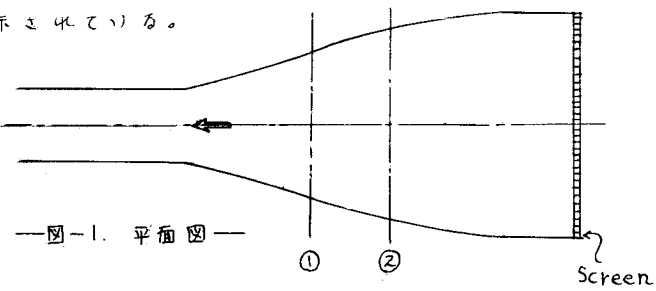
背水の影響を受けている地図で、

あつて下図の如き、明瞭な横断方向水面勾配がみられる。尚、

$$Q = 55.07 \text{ m}^3/\text{sec}$$

$$U_m = 1.60 \text{ m/sec}$$

—図-1. 平面図—

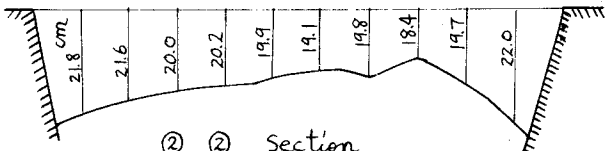


① ① section

$$\begin{aligned} \text{縮尺 縦;} \quad S &= \frac{1}{15} \\ \text{横;} \quad S &= \frac{1}{100} \end{aligned}$$

$$\text{平均水深 } H_m = 5.376 \text{ m}$$

—図2—



② ② Section

$$\begin{aligned} \text{縮尺 縦;} \quad S &= \frac{1}{15} \\ \text{横;} \quad S &= \frac{1}{100} \end{aligned}$$

$$\text{平均水深 } H_m = 5.112 \text{ m}$$

—図3—

§2. 二次流の発生及び二次流と主流との関連について。
以下、円筒座標 (r, φ, z) を用ひるにすれば、運動方程式は、次の如くになる。

$$u \frac{\partial u}{\partial r} + \frac{v}{r} \frac{\partial u}{\partial \varphi} + w \frac{\partial u}{\partial z} - \frac{v^2}{r} = -\frac{1}{\rho} \frac{\partial p}{\partial r} + \varepsilon_r (V^2 u - \frac{u}{r^2} - \frac{2}{r^2} \frac{\partial v}{\partial \varphi}) \quad (1)$$

$$u \frac{\partial v}{\partial r} + \frac{v}{r} \frac{\partial v}{\partial \varphi} + w \frac{\partial v}{\partial z} + \frac{uv}{r} = -\frac{1}{\rho} \frac{1}{r} \frac{\partial p}{\partial \varphi} + \varepsilon_\varphi (V^2 v + \frac{2}{r^2} \frac{\partial u}{\partial \varphi} - \frac{v}{r^2}) \quad (2)$$

$$u \frac{\partial w}{\partial r} + \frac{v}{r} \frac{\partial w}{\partial \varphi} + w \frac{\partial w}{\partial z} = -\frac{1}{\rho} \frac{\partial p}{\partial z} + \varepsilon_z (V^2 w) \quad (3)$$

但し、 ε_i は、 i 方向についての乱流拡散係数の成分とする。

$$\nabla^2 = \frac{\partial^2}{\partial r^2} + \frac{1}{r} \frac{\partial}{\partial r} + \frac{1}{r^2} \frac{\partial^2}{\partial \varphi^2} + \frac{\partial^2}{\partial z^2}$$

連続方程式は、

$$\frac{1}{r} \frac{\partial}{\partial r} (r u) + \frac{1}{r} \frac{\partial v}{\partial \varphi} + \frac{\partial w}{\partial z} = 0 \quad (4)$$

今、 $r \gg r_0$ なる領域を考えれば、

(1) 二次流が、なければ

$u \equiv u_0, v \equiv 0, w \equiv 0$ 。従って u_0 は、(1) より

$$u_0 \frac{\partial u_0}{\partial r} = -\frac{1}{r} \frac{\partial p_0}{\partial r} + \varepsilon_r \left(\frac{1}{r^2} \frac{\partial^2 u_0}{\partial \varphi^2} - \frac{u_0}{r^2} \right) \quad (5)$$

但し、内部 energy 損失は、主として、 φ 方向の乱れ拡散によるものと考える。

(2) 二次流が存在すれば、

$$u \equiv u_0 + u', v \equiv v', w \equiv w', p \equiv p_0 + p'$$

こゝに、 u', v', w', p' は、微小量とすれば、(1) より、

$$u_0 \frac{\partial u_0}{\partial r} + u_0 \frac{\partial u'}{\partial r} \approx -\frac{1}{r} \frac{\partial p}{\partial r} + \varepsilon_r \left(\frac{1}{r^2} \frac{\partial^2 u_0}{\partial \varphi^2} - \frac{u_0}{r^2} \right) \quad (6)$$

但し、内部 energy 損失は、主流で受持つ。

$$(5) \text{ と } (6) \text{ より}, u_0 \frac{\partial u'}{\partial r} = -\frac{1}{r} \frac{\partial p'}{\partial r} \quad (7)$$

$$\text{又、(2) 及び (3) から}, u_0 \left(\frac{\partial v'}{\partial r} - \frac{v'}{r} \right) = -\frac{1}{r} \frac{1}{r} \frac{\partial p'}{\partial \varphi}, u_0 \frac{\partial w'}{\partial r} = -\frac{1}{r} \frac{\partial p'}{\partial z} \quad (8)$$

$$(7) \text{ 及び (8) より} \frac{\partial^2 v'}{\partial r^2} + \frac{2}{r} \frac{\partial v'}{\partial r} = \frac{1}{r} \frac{\partial^2 u'}{\partial \varphi^2} \quad (9)$$

一方、連続方程式 (4) で、 r の大きい領域を

考えるのごとく、 $\frac{1}{r} \frac{\partial v'}{\partial \varphi}$ は他項に比して、小さく、更に水面近くでは、 $\frac{\partial w'}{\partial z}$ を無視出来るので、

$$\frac{\partial u'}{\partial r} \approx -\left(\frac{\partial u_0}{\partial r} + \frac{u_0}{r} \right) \quad (10)$$

(10) を (9) に代入すると、 v' に関する基礎式として、

$$\frac{d^2 v'}{dr^2} + \frac{2}{r} \frac{dv'}{dr} = -\frac{1}{r} \frac{\partial}{\partial \varphi} \left(\frac{\partial u_0}{\partial r} + \frac{u_0}{r} \right) \quad (11)$$

(11) 及び $\eta \equiv \int_{\infty}^{r_0} \frac{1}{r} dr = -\frac{1}{r_0}$ なる変数変換を行なえば、次式の如くになる。

$$\frac{d^2 v'}{d\eta^2} + 4 \frac{dv'}{d\eta} = -\frac{2}{\eta} \frac{\partial}{\partial \varphi} \left\{ \eta \frac{\partial u_0}{\partial \eta} - u_0 \right\} \quad (12)$$

(5) の解として、定まる、 $(u_0)_{\varphi=\frac{\pi}{2}}$ は、 $r \gg r_0$ の時は、ほど $\frac{1}{r^2} = \eta^2$ に比例し、Blasius の $\frac{1}{7}$ 乗則に、従うものとして、次のようにおく。 $u_0 = A \left(\frac{\varphi-\theta}{\pi/2-\theta} \right)^{\frac{1}{7}} = A \eta^2 \left(\frac{\varphi-\theta}{\pi/2-\theta} \right)^{\frac{1}{7}}$

(12) 及び (13) より、

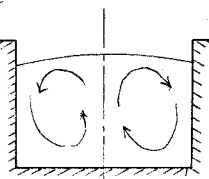
$$\frac{dv'}{d\varphi} = -\frac{3}{q_8} u_0 \frac{1}{(\varphi-\theta)^2}, \quad v' = +\frac{1}{28} \frac{u_0}{\varphi-\theta} \quad (14)$$

(I) Convergent Channel

$$(u_0 < 0, \frac{\partial u_0}{\partial r} > 0)$$

$$v' < 0$$

$$\frac{dv'}{d\varphi} > 0$$

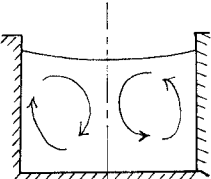


(II) Divergent Channel

$$(u_0 > 0, \frac{\partial u_0}{\partial r} < 0)$$

$$v' > 0$$

$$\frac{dv'}{d\varphi} < 0$$



尚、これら実験結果については、講演の際、報告する。